

Отчёт о выполнении
лабораторной работы 1.4.1
Изучение физического маятника

Подготовил
Лукин Иван
Б03-204

17 ноября 2022 г.

Цель работы: исследовать зависимость периода колебаний физического маятника от его момента инерции.

Оборудование: физический маятник (однородный стальной стержень), опорная призма, математический маятник, счетчик числа колебаний, линейка, секундомер.

1 Теоретическая часть

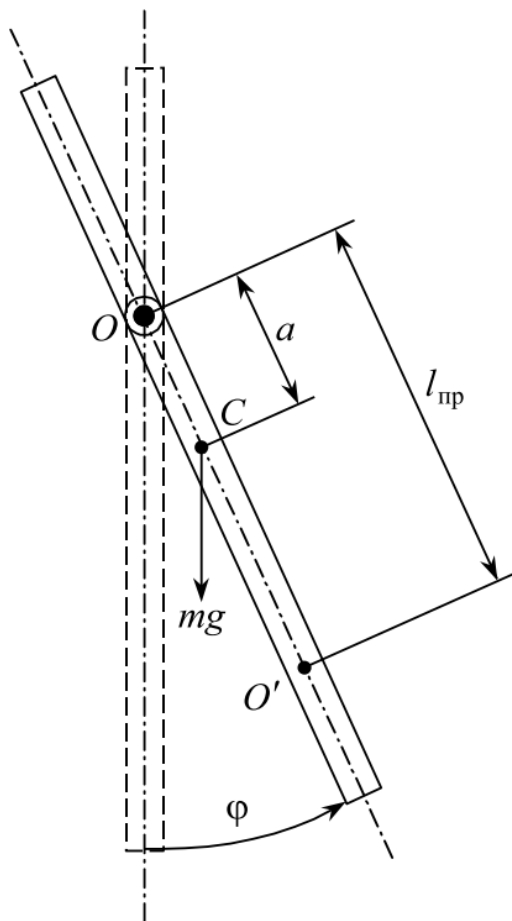


Рис. 1: Физический маятник

Физический маятник — любое твёрдое тело, которое, находясь под действием силы тяжести, может свободно качаться вокруг неподвижной оси. Движение маятника можно описать следующим уравнением:

$$I \frac{d^2\varphi}{dt^2} = M, \quad (1)$$

где I — момент инерции маятника, φ — угол отклонения маятника от положения равновесия, M — момент сил, действующих на маятник.

В данной работе в качестве физического маятника (рис. 1) используется однородный стальной стержень длиной l ; на нём закреплена опорная призма, которую можно перемещать вдоль стержня, меняя расстояние OC от точки опоры маятника O до его центра масс C . Если принять длину отрез-

ка OC за a , то можно найти момент инерции маятника I по теореме Гюйгенца-Штейнера:

$$I = \frac{ml^2}{12} + ma^2,$$

где m - масса маятника. При малых углах отклонения φ момент силы тяжести, действующий на маятник, можно найти по следующей формуле:

$$M = -mga \sin \varphi \approx -mga\varphi$$

Мы не будем учитывать момент силы трения, так как он пренебрежимо мал: в исправной установке маятник совершает несколько сот колебаний без заметного затухания. Подставляя полученные формулы для I и M в формулу (1), получим следующее выражение:

$$\ddot{\varphi} + \omega^2 \varphi = 0, \quad (2)$$

где

$$\omega^2 = \frac{ag}{a^2 + \frac{l^2}{12}}. \quad (3)$$

Из (3) по известной формуле периода колебаний $T = \frac{2\pi}{\omega}$ следует, что

$$T = 2\pi \sqrt{\frac{a^2 + \frac{l^2}{12}}{ag}} \quad (4)$$

Видно, что период малых колебаний (при достаточно малом угле φ) не зависит ни от фазы, ни от амплитуды колебаний, так как, согласно формуле (3), ω зависит лишь от g , l и a .

Проведя аналогию с математическим маятником, из формулы $T' = 2\pi \sqrt{\frac{l'}{g}}$ получим следующую величину

$$l_{\text{пр}} = a + \frac{l^2}{12a}, \quad (5)$$

которую называют приведённой длиной физического маятника. Поэтому точку O' , отстоящую от точки опоры на расстояние $l_{\text{пр}}$, называют центром качания физического маятника. Точка опоры и центр

качания маятника обратимы, т.е. при качании маятника вокруг точки O' период будет таким же, как и при качании вокруг точки O .

2 Практическая часть

Определение диапазона амплитуд, при котором период колебаний не зависит от амплитуды

Проведём измерения времени t 100 колебаний N физического маятника при разных углах отклонения φ для того, чтобы определить диапазон амплитуд, в котором период колебаний не зависит от угла отклонения стержня φ от положения равновесия. Результаты измерений занесем в таблицу 1.

$\varphi, ^\circ$	$t, \text{с}$	N	$T, \text{с}$	$T_{\text{ср}}, \text{с}$
10	154,37	100	1,5437	1,54203
10	154,06	100	1,5406	
10	154,18	100	1,5418	
5	153,91	100	1,5391	1,53970
5	153,97	100	1,5397	
5	154,03	100	1,5403	

Таблица 1: Результаты определения диапазона амплитуд

Определим погрешность измерений с учётом того, что погрешность измерения секундомером равна $\sigma_c = 0,2 \text{с}$.

$$\sigma_{\text{случ}} = \sqrt{\frac{1}{N} \sum_{i=1}^N (T_{\text{ср}} - T_i)^2},$$

$$\sigma_{\text{сист}} = \sigma_c,$$

$$\sigma = \sqrt{\sigma_c^2 + \sigma_{\text{сл}}^2}.$$

По результатам вычислений мы определили для $\varphi = 10^\circ$ и $\varphi = 5^\circ$ $T_1 = 1.5 \pm 0.1 \text{с}$ и $T_2 = 1.5 \pm 0.1 \text{с}$, T_1 и T_2 совпадают в пределах

погрешности. Значит, дальнейшие эксперименты можно проводить при $\varphi \leq 10^\circ$.

Вычисление ускорения свободного падения и длины стержня

Перемещая опорную призму вдоль стержня, будем исследовать зависимость периода колебаний T от расстояния a между точкой опоры и центром масс. Сделав 10 измерений при $N = 100$, занесём результаты в таблицу 2.

a , см	t , с	T , с
37	153,81	1,5381
34	152,53	1,5253
30	151,56	1,5156
25	152,19	1,5219
20	156,57	1,5657
15	167,94	1,6794
13	175,19	1,7519
18	160,13	1,6013
23	153,47	1,5347
28	151,53	1,5153

Таблица 2: Зависимость периода колебаний от расстояния между точкой опоры и центра масс

Из формулы (4) можно вывести линейную зависимость $T^2 a$ от a^2 :

$$T^2 a = \frac{4\pi^2}{g} a^2 + \frac{\pi^2 l^2}{3g}. \quad (6)$$

По таблице 3 построим график функции $T^2 a$ от a^2 . При помощи МНК найдём коэффициенты

$$k = \frac{4\pi^2}{g} \text{ и } b = \frac{\pi^2 l^2}{3g}. \quad (7)$$

$a^2, \text{ см}^2$	$T^2a, \text{ с}^2 \cdot \text{ см}$
1369	87,53281
1156	79,10236
900	68,91130
625	57,90449
400	49,02832
225	42,30576
169	39,89899
324	46,15491
529	54,17199
784	64,29175

Таблица 3: Данные для графика

Необходимые формулы:

Собственно коэффициенты

$$k = \frac{\langle a^2 \cdot T^2a \rangle - \langle a^2 \rangle \langle T^2a \rangle}{\langle a^4 \rangle - \langle a^2 \rangle^2},$$

$$b = \langle T^2a \rangle - k \langle a^2 \rangle.$$

Их случайные погрешности по МНК:

$$\sigma_k^{\text{случ}} = \sqrt{\frac{1}{N} \left(\frac{\langle (T^2a)^2 \rangle - \langle T^2a \rangle^2}{\langle a^4 \rangle - \langle a^2 \rangle^2} - k^2 \right)},$$

$$\sigma_b^{\text{случ}} = \sigma_k^{\text{случ}} \sqrt{\langle a^4 \rangle - \langle a^2 \rangle^2}.$$

Систематические погрешности зависят от приборов, которыми мы пользовались для измерения величин:

$$\sigma_k^{\text{сист}} = k \sqrt{\left(\frac{\Delta_a}{2a_{\text{макс}}} \right)^2 + \left(\frac{\Delta_{T^2a}}{2T^2a_{\text{макс}}} \right)^2},$$

$$\sigma_b^{\text{сист}} = b \sqrt{\left(\frac{\Delta_a}{2a_{\text{макс}}} \right)^2 + \left(\frac{\Delta_{T^2a}}{2T^2a_{\text{макс}}} \right)^2},$$

где

$$\Delta_a = 2\Delta_l = 0,2 \text{ см},$$

$$\Delta_{T^2a} = 2\Delta_l\Delta_T = 0,04 \text{ см}.$$

Полные погрешности коэффициентов:

$$\sigma_k = \sqrt{(\sigma_k^{\text{случ}})^2 + (\sigma_k^{\text{сист}})^2}$$

$$\sigma_b = \sqrt{(\sigma_b^{\text{случ}})^2 + (\sigma_b^{\text{сист}})^2}.$$

В итоге $k = 0,0396 \pm 0,0001 \frac{\text{с}^2}{\text{см}}$ и $b = 33,244 \pm 0,024 \text{ см} \cdot \text{с}^2$.
Выразим из формул (7) g и l :

$$g = \frac{4\pi^2}{k},$$

$$l = \sqrt{\frac{3bg}{\pi^2}}.$$

Их погрешности:

$$\sigma_g = g \frac{\sigma_k}{k}$$

$$\sigma_l = l \sqrt{\left(\frac{\sigma_b}{b}\right)^2 + \left(\frac{\sigma_g}{g}\right)^2}$$

Получим $g = 9,96 \pm 0,03 \frac{\text{м}}{\text{с}^2}$ и $l = 100,4 \pm 0,3 \text{ см}$.

Проверка совпадения периода колебания физического маятника с математическим

Подберём длину математического маятника для $a = 20 \text{ см}$ так, чтобы периоды физического маятника и математического совпали. Остановимся на $l_{\text{м}} = 62$. Результаты измерения периодов для колебания на этих длинах занесём в таблицу 2. Периоды из таблицы 2

Маятник	$T, \text{ с}$
Физический	1,5657
Математический	1,5749

Таблица 4: Периоды колебаний для физического и математического маятников

отличаются на $\varepsilon = \frac{T_{\text{м}} - T_{\text{ф}}}{T_{\text{ф}}} \cdot 100\% \approx 0,58\%$, что попадает в

$$\varepsilon_{T_{\text{ф}}} = \frac{\Delta T}{T_{\text{ф}}} \cdot 100\% \approx 12,70\%.$$

Периоды математического и физического маятников совпали в пределах ε , теперь можно сравнить $l_{\text{пр}}$, которую можно получить по формуле (5), и $l_{\text{м}}$, полученную экспериментально. В результате расчётов по формуле (5), используя $l_{\text{лин}} = 100,1 \text{ см}$, величину, измеренную линейкой, получим $l_{\text{пр}} \approx 61,75 \text{ см} \approx l_{\text{м}}$. Формула (5) справедлива.

Проверка обратимости точки подвеса и центра качания

Найдём расстояние от центра масс до центра качания a_1 по следующей формуле, взяв $a = 20 \text{ см}$:

$$a_1 = l_{\text{пр}} - a = \frac{l^2}{12a} \approx 41,75 \text{ см}$$

В результате период колебаний $T_1 = 1,5629 \text{ см} \approx T_2 = 1,5657 \text{ см}$, где T_2 взяли из таблицы 2. Периоды совпали, следовательно, точка подвеса и центр качания обратимы.

3 Выводы

Полученная величина $g = 9,96 \pm 0,03 \frac{\text{м}}{\text{с}^2}$ не совпала с теоретической, которая равна $9,8154 \frac{\text{м}}{\text{с}^2}$ для московской широты, в пределах погрешности, однако довольно близка к ней. Длина $l = 100,4 \pm 0,3$ см совпала с измеренной $l_{\text{лин}} = 100,1 \pm 0,1$ см в пределах погрешности. Формула (5) справедлива так же, как и утверждение об обратимости точки подвеса и центра качания.